

国鉄構造物設計事務所 正員 諸橋 和美

〃 〃 福田 不沈

〃 〃 金水 尚志

まえがき

切はりフレロードを導入することは、切はりと壁体、腹起しのなれみをよくするため、一般の土留工で通常行なわれており、その大半は10ト前後のものである。一方、設計切はり軸力の50~100%のフレロードを軸力として導入したという例は、特に土木の分野では少なく、また、フレロードの効果については種々の議論のあるところである。すなわち、フレロードが、壁体変形(地盤変位)、壁体応力、切はり軸力等及びその影響については定見がなく、いくつかのフレロードに関する論文(17,22)も、その効果については賛否両論がある。しかしながら、重要構造物に近接して開削を行なう場合等、地盤の変位を極力拘束する必要がある場合、また、壁体の曲げ応力のコントロールの可能性等を考え、切はりフレロードの効果を検討しておくことは意義深いと思われ、ここでは、数値解析より切はりフレロードの効果と結果の一部を報告するものとする。なお、この論文の内容及び本報巻末のIII-21は、既述の論文(31,40)に続くものであり、現在、国鉄で作成中の土留工の設計指針に関する検討の過程で議論されたものである。

切はりフレロードに関する話題

切はりフレロードに関する話題を整理すると次のようになる。

- ①切はりフレロード(以下  $P_{fs}$  と書く)の大きさや壁体変位、地盤変位との相関性、②  $P_{fs}$  と壁体応力および切はり軸力の変化、③  $P_{fs}$  導入土留工の壁体設計用土圧、④ ①~③ に関し、最適な  $P_{fs}$  の大きさ、⑤  $P_{fs}$  導入方法および施工管理 ⑥ その他

計算方法

計算は、壁体をはり、地盤をバネ支承と見做し、土圧として、静土圧、主動土圧、受働土圧を算出し、それぞれ弾塑性土圧による。図-1に地盤条件と施工順序を示す。ここでは擋土地盤のみを算し、最終掘削深さ(10m)で安全係数  $N_b$  が2~6と異なるようにせん断強度を算定させた。壁体として、鋼鉄板、地下連続壁相当の壁体と算定した。ここでは鋼鉄板型相当壁に関する計算結果のみを報告するものである。また、掘入水の効果については(III-21)で述べるので、ここでは掘入水長が5mの場合のみ報すこととした。導入  $P_{fs}$  は、 $P_{fs} = 0$  の時の各段の切はり軸力の最大値の50%、100%とした。

計算結果および考察

変位: 図-2に  $P_{fs}$  が 0, 50%, 100% の場合の壁体の変位の比較を示す。  $P_{fs} = 0$  の場合  $N_b = 4$  で壁体先端の変位が最も大きく

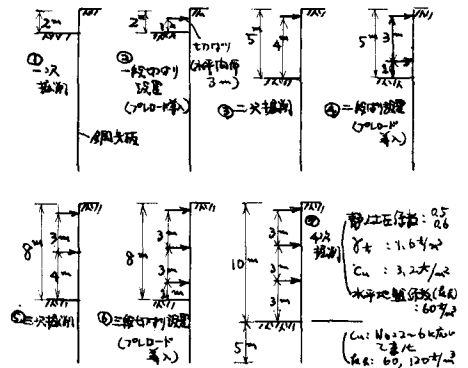


図-1. 地盤条件と施工順序

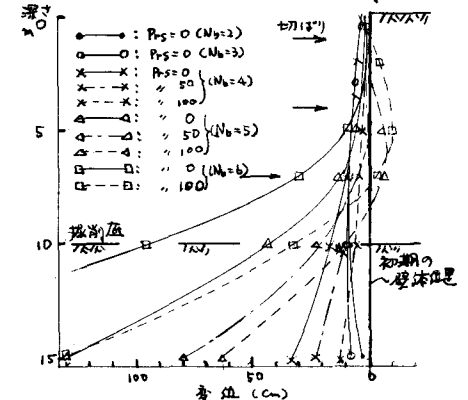


図-2.  $N_b$  と壁体変位

なり、 $N_b=5$  では、1.2m 程度反りであり、掘削直前地盤のヒールアップの可能性を示唆していると思われる。一方、 $R_s=100\%$  では  $N_b=4$  の壁体先端変位は比較的小さく、 $N_b=5$  の変位が急激に大きくなる。また、 $N_b=5$  の場合は、掘削直前を上り地盤で壁体分地山側へ押しこめる傾向が見られるが、この場合切欠きフロートを導入する場合は単純に従来のみかきの土圧で壁体を設計してよいか否かの議論を生ずる部分である。壁体の変位は  $R_s$  の導入により低減することは明らかであり、 $R_s=50\%$ 、 $R_s=100\%$  となるに伴い  $R_s$  の大きさと応力の変位低減が見られる。変位低減の観点から、 $R_s=100\%$  の場合 1.2m 程度反り効果は期待できないという意見も一部あるようだが、この計算結果から反りのような現象は断言できない。図-3 に  $N_b=4$ 、 $R_s=100\%$  の場合の各フロート導入時における壁体の変位状況を示す。

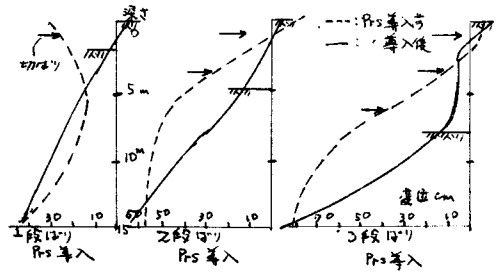


図-3 フロート導入時の壁体の変位 ( $N_b=4$ ,  $R_s=100\%$ )

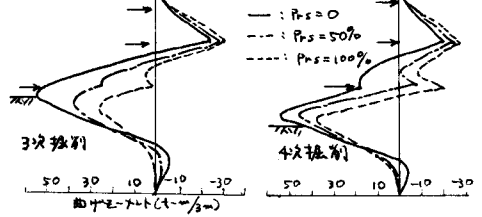


図-4 曲げモーメントの比較 ( $N_b=2$ )

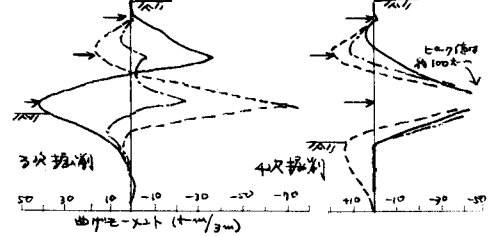


図-5 曲げモーメントの比較 ( $N_b=4$ )

**壁体の曲げモーメント:** 図-4 に  $N_b=2$  の場合の 3 次および 4 次掘削時の曲げモーメントを示す。  $R_s$  の導入により掘削直前の最大曲げモーメントが減少する傾向が見られる。図-5 は  $N_b=4$  の場合を示している。この場合、 $R_s$  導入後の曲げモーメントの分布形状が  $N_b=2$  の場合と全く異なり、最下段切欠き位置で最大曲げモーメントを生じている。また  $R_s$  導入による曲げモーメントの低減はほとんど見られなかった。図-6 に  $N_b$  と  $R_s=50\%$ 、 $100\%$  の場合の  $M_{max}$  と  $R_s=0$  の場合の  $M_{max}$  の比の関係を示す。

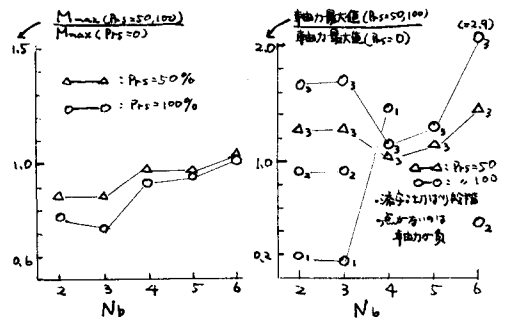


図-6  $N_b$  と曲げモーメントの比 図-7  $N_b$  と軸力の比

**切欠き軸力:** 図-7 に  $N_b$  と  $R_s=50\%$ 、 $100\%$  の場合の最大切欠き軸力と  $R_s=0$  の場合の最大切欠き軸力の比を示す。図中添字は切欠き段階を示している。最大軸力は最下段切欠きを生じた  $R_s$  導入により軸力の増加が見られる。すなわち、最下段切欠き軸力は  $R_s=50\%$  の時 1.1~1.5 倍、 $100\%$  の場合には 1.2~2.9 倍となっており、特に最下段切欠きに対する配慮が必要であると思われる。

**土圧:** ここには図示していないが、変位の項でも述べたように、壁体変位の低減に伴って土圧が増加する可能性があると思われる。この場合にも一部静止土圧以上の土圧が発生しているケースがある。

おとがき

以上、土留工に関する様々な問題点のうち一つとして、切欠きフロートの問題を取りあげ、数値解析を行なった結果を簡潔に述べた。この問題はアースエーカー大土留工に関する問題と同様の性質を有するものと考えられる。重要な問題であり、機会があれば現場試験等を行なった検討を行ってみたいと思ふ。

参考文献

1) 野尻地: "掘削工事における切欠きフロート工法", 土曜講座, 1973, 5, 2) Cording, E.J. et al; "Deep Subway Excavation", 1974, 12

3) 垂水地: "開削時の地盤の変形 (No.1)", 551. 関東支部, 4) 垂水地: "開削時の地盤の変形 (No.2)", 32 回年度講演会